

# Estudio de Estrellas de Planck

Alejandro Hernández A.

Asesor: Pedro Bargueño.

Universidad de los Andes, Bogotá, Colombia

Mayo 24, 2016

# Contenidos

- 1 Introducción y motivación
- 2 Preliminares
  - Condiciones de energía
  - Procedimiento General
- 3 Métricas relevantes
  - Métrica de Bardeen
  - Métrica de Vaidya
- 4 Métrica de Hayward
  - Métrica de Hayward estática
  - Métrica de Hayward dinámica
  - Métrica de Hayward modificada
- 5 Conclusiones
- 6 Referencias

# Introducción

- Soluciones estáticas y esféricamente simétricas de las ecuaciones de campo de Einstein (Agujeros negros).
- Problemas de las singularidades en el espaciotiempo  $\leftrightarrow$  Fallas de la relatividad general.
- Agujeros negros regulares.

# Motivación

- Obtener un conocimiento más profundo de la relatividad general.
- Conocer algunas limitaciones y fallas de dicha teoría.
- Entender la regularización de agujeros negros y los conceptos físicos detrás de este proceso.
- Conocer un poco acerca de teoría cuántica de campos efectiva en relatividad general.

# Condiciones de energía

Las condiciones de energía son  $[1, 2]$

- **NEC:**  $\rho \geq 0$
- **WEC:**  $\rho \geq 0$ ,  $\rho + p_i \geq 0$  para  $i \in \{1, 2, 3\}$ .
- **DEC:**  $\rho \geq 0$ ,  $\rho + p_i \geq 0$ ,  $\rho \geq |p_i|$  para  $i \in \{1, 2, 3\}$ .
- **SEC:**  $\rho + p_i \geq 0$  y  $\rho + 3p_i \geq 0$ .

Para el estudio de agujeros negros regulares, la única condición de energía que nos interesa es la WEC.

# Procedimiento general

Forma general del elemento de línea esféricamente simétrico y estático:

$$ds^2 = -f(r)dt^2 + \frac{1}{f(r)}dr^2 + r^2d\Omega^2, \quad (2.1)$$

$$f(r) = 1 - \frac{2m(r)}{r}. \quad (2.2)$$

En términos de  $m(r)$  la WEC se expresa como [3]

$$\begin{aligned} \frac{1}{r^2} \frac{dm(r)}{dr} &\geq 0, \\ \frac{2}{r} \frac{dm(r)}{dr} &\geq \frac{d^2m(r)}{dr^2}. \end{aligned} \quad (2.3)$$

# Métrica de Bardeen

La métrica de Bardeen está dada por [4]

$$ds^2 = - \left( 1 - \frac{2mr^2}{(r^2 + g^2)^{3/2}} \right) dt^2 + \left( 1 - \frac{2mr^2}{(r^2 + g^2)^{3/2}} \right)^{-1} dr^2 + r^2 d\Omega^2, \quad (3.1)$$

$$f_{\text{bardeen}}(r) \underset{r \rightarrow 0}{\sim} 1 - \frac{2mr^2}{g^3} + \mathcal{O}(r^4), \quad (3.2)$$

$$f_{\text{bardeen}}(r) \underset{r \rightarrow \infty}{\sim} 1 - \frac{2m}{r} + \frac{3mg^2}{r^3} + \mathcal{O}\left(\frac{1}{r^5}\right). \quad (3.3)$$

# Métrica de Bardeen

Los invariantes de curvatura de esta métrica están dados por

$$\begin{aligned} R &= \frac{6g^2 m (4g^2 - r^2)}{(g^2 + r^2)^{7/2}}, \\ R_{\mu\nu} R^{\mu\nu} &= \frac{18g^4 m^2 (8g^4 - 4g^2 r^2 + 13r^4)}{(g^2 + r^2)^7}, \\ R_{\mu\nu\sigma\rho} R^{\mu\nu\sigma\rho} &= \frac{12m^2 (8g^8 - 4g^6 r^2 + 47g^4 r^4 - 12g^2 r^6 + 4r^8)}{(g^2 + r^2)^7}. \end{aligned} \tag{3.4}$$



# Métrica de Bardeen

La condición de energía débil se satisface automáticamente puesto que al considerar la función de masa

$$m(r) = \frac{mr^3}{(r^2 + g^2)^{3/2}}, \quad (3.5)$$

se tiene que

$$\begin{aligned} \frac{1}{r^2} \frac{dm(r)}{dr} &= \frac{6mg^2}{(g^2 + r^2)^{5/2}}, \\ \frac{2}{r} \frac{dm(r)}{dr} &= \frac{12mg^2r}{(g^2 + r^2)^{5/2}}, \\ \frac{d^2m(r)}{dr^2} &= \frac{6m(2g^4r - 3g^2r^3)}{(g^2 + r^2)^{7/2}}. \end{aligned} \quad (3.6)$$

# Métrica de Bardeen

Para la interpretación física de la métrica de Bardeen, se requiere acoplar RG con electrodinámica no-lineal [5]

$$\mathcal{S} = \int dv \left( \frac{1}{16\pi} R - \frac{1}{4\pi} \mathcal{L}(F) \right), \quad (3.7)$$

$$\mathcal{L}(F) = \frac{3}{2sg^2} \left( \frac{\sqrt{2g^2 F}}{1 + \sqrt{2g^2 F}} \right)^{5/2}, \quad s = \frac{|g|}{2m} \quad (3.8)$$

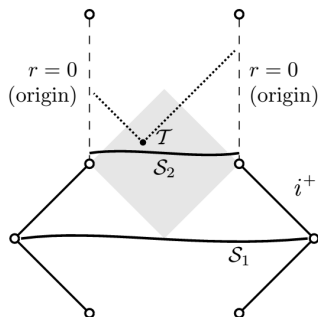
Con el ansatz  $F_{\mu\nu} = 2\delta_{[\mu}^{\theta} \delta_{\nu]}^{\varphi} B(r, \theta)$ ,

$$\frac{1}{4\pi} \int_{S^{\infty}} \mathbf{F} = \frac{g}{4\pi} \int_0^{\pi} \int_0^{2\pi} \sin(\theta) d\theta d\varphi = g$$

$\rightsquigarrow g$  corresponde a la carga de monopolo autogravitante.

# Métrica de Bardeen

Para la interpretación del carácter regular de la métrica de Bardeen



**Figura :** Estructura global de una porción del agujero negro de Bardeen. Imagen tomada de [6].

# Métrica de Bardeen

## Teorema (Borde, 1996)

*Suponga que una espaciotiempo  $\mathcal{M}$  satisface que*

- I contiene una superficie eventualmente futuramente atrapada  $\mathcal{T}$ ,*
- II obedece la condición de convergencia nula,*
- III el conjunto de geodésicas nulas futuras es completo,*
- IV su futuro causal es simple, con  $E^+(X) \neq \emptyset$ ,  $\forall X \subset \mathcal{M}$  acronal.*

*Entonces hay una sección espacial compacta en el futuro de  $\mathcal{T}$ .*

# Métrica de Bardeen

## Teorema (Penrose, 1965)

*Si un espaciotiempo satisface que*

- I contiene una hipersuperficie de Cauchy  $\Sigma$  no-compacta y conexa,*
- II contiene una superficie cerrada futuramente atrapada (future-trapped surface),*
- III cumple con la condición de convergencia nula  $R_{\mu\nu}u^\mu u^\nu \geq 0$  para cualquier vector nulo  $u^\mu$  (o equivalentemente, cumple la NEC),*

*entonces dicho espacio tiempo posee geodésicas incompletas de tipo nulo futuro.*

Un **horizonte de Cauchy** básicamente es una superficie que separa dos regiones del espacio: una que contiene geodésicas cerradas tipo espacio y otra que contiene curvas cerradas tipo tiempo.

# Métrica de Vaidya

En la métrica de Schwarzschild, considerar

$$dt = du + \frac{dr}{(1 - 2m/r)}, \quad (3.9)$$

y al generalizar  $m = m(u)$ , se obtiene

$$ds^2 = - \left( 1 - \frac{2m(u)}{r} \right) du^2 - 2dudr + r^2 d\Omega^2. \quad (3.10)$$

Diferencia crucial con Schwarzschild:  $r = 2m(u)$  deja de ser un horizonte de eventos y se convierte en un horizonte aparente.

## Definición (Horizonte aparente)

*Un horizonte aparente es una hipersuperficie que separa las regiones que poseen superficies atrapadas de las regiones que no contienen este tipo de superficies.*

# Métrica de Hayward estática

La métrica de Hayward está dada por

$$ds^2 = - \left( 1 - \frac{2mr^2}{r^3 + 2ml^2} \right) dt^2 + \left( 1 - \frac{2mr^2}{r^3 + 2ml^2} \right)^{-1} dr^2 + r^2 d\Omega^2, \quad (4.1)$$

$$f_{\text{hayward}}(r) \underset{r \rightarrow 0}{\sim} 1 - \frac{r^2}{l^2} + \mathcal{O}(r^5), \quad (4.2)$$

$$f_{\text{hayward}}(r) \underset{r \rightarrow \infty}{\sim} 1 - \frac{2m}{r} + \frac{4l^2 m^2}{r^4} + \mathcal{O}(r^{-5}), \quad (4.3)$$

¿Interpretación física del parámetro  $l$ ?

¿Cómo aplica el teorema de Borde en este caso?

# Métrica de Hayward estática

Los invariantes de curvatura de esta métrica son

$$\begin{aligned}
 R &= \frac{24l^2 m^2 (4l^2 m - r^3)}{(2l^2 m + r^3)^3}, \\
 R_{\mu\nu} R^{\mu\nu} &= \frac{288m^4 (8l^8 m^2 - 4l^6 m r^3 + 5l^4 r^6)}{(2l^2 m + r^3)^6}, \\
 R_{\mu\nu\sigma\rho} R^{\mu\nu\sigma\rho} &= \frac{48m^2 (32l^8 m^4 - 16l^6 m^3 r^3 + 72l^4 m^2 r^6 - 8l^2 m r^9 + r^{12})}{(2l^2 m + r^3)^6},
 \end{aligned} \tag{4.4}$$



# Métrica de hayward estática

Nuevamente se satisface la condición de energía débil puesto que dada la función de masa

$$m(r) = \frac{mr^3}{r^3 + 2ml^2}. \quad (4.5)$$

tenemos que

$$\begin{aligned} \frac{1}{r^2} \frac{dm(r)}{dr} &= \frac{12l^2 m^2}{(2l^2 m + r^3)^2}, \\ \frac{2}{r} \frac{dm(r)}{dr} &= \frac{24l^2 m^2 r}{(2l^2 m + r^3)^2}, \\ \frac{d^2 m(r)}{dr^2} &= \frac{48m^2 (l^4 mr - l^2 r^4)}{(2l^2 m + r^3)^3}. \end{aligned} \quad (4.6)$$

# Métrica de Hayward dinámica

Al considerar

$$dt = du + \frac{dr}{(1 - 2m(r)/r)}. \quad (4.7)$$

y generalizar  $m = m(u)$  tenemos que

$$ds^2 = - \left( 1 - \frac{2m(u)r^2}{r^3 + 2m(u)l^2} \right) du^2 - 2dudr + r^2 d\Omega^2, \quad (4.8)$$

# Métrica de Hayward modificada

Las métricas de las estrellas de Planck deberían incluir [7]

- La corrección de loop quantum gravity al potencial Newtoniano, dada por

$$\Phi(r) = -\frac{m}{r} \left( 1 + \beta \frac{l_p^2}{r^2} \right) + \mathcal{O}(r^{-4}). \quad (4.9)$$

- Dilatación de tiempo finita entre  $r = 0$  y  $r \rightarrow \infty$ .

# Métrica de Hayward Modificada

Dado que

$$g_{00} = -(1 + 2\phi), \quad (4.10)$$

para incluir las correcciones previamente mencionadas se da la métrica

$$ds^2 = -G(r)F(r)dt^2 + \frac{1}{F(r)}dr^2 + r^2d\Omega^2, \quad (4.11)$$

donde

$$F(r) = 1 - \frac{2mr^2}{r^3 + 2ml^2}, \quad (4.12)$$

y la función  $G(r)$  se explica a continuación.

# Métrica de Hayward Modificada

Las condiciones físicas que se le exigen a  $G(r)$  son

- Preservar el comportamiento de Schwarzschild para  $r \rightarrow \infty$ .
- Incluir la corrección cuántica del potencial newtoniano (4.9).
- Permitir dilataciones de tiempo finitas entre  $r \rightarrow 0$  y  $r \rightarrow \infty$ .

La forma más general de satisfacer las condiciones anteriormente impuestas es considerar  $G(r)$  dada por

$$G(r) = 1 - \frac{\beta M \alpha}{\alpha r^3 + \beta M}, \quad (4.13)$$

donde  $\alpha$  está dado por

$$-g_{00}(r=0) = 1 - \alpha, \quad 0 \leq \alpha < 1. \quad (4.14)$$

# Conclusiones

- La teoría de la relatividad general clásica presenta fallas potencialmente debidas a la no cosideración de la teoría cuántica.
- El proceso de regularización de agujeros negros puede ser esclarecido mediante la inclusión de la teoría cuántica en gravedad.
- Las estrellas de Planck son una alternativa de regularización de agujeros negros, que plantea una nueva instancia el la vida de un agujero negro.
- Las estrellas de Planck pueden alcanzar una densidad del orden de la densidad de Planck a escalas de longitud mucho mayores que la longitud de Planck.

# Trabajo Futuro

- Entender profundamente el teorema de Borde y sus múltiples aplicaciones en este trabajo.
- Entender el carácter regular de la métrica de Bardeen en términos del teorema de Borde.
- Entender la derivación de las correcciones de teoría cuántica de campos efectiva del potencial Newtoniano.
- Entender la solución de la paradoja de la pérdida de información en agujeros negros [8].

# Referencias I

- [1] Sean M Carroll.  
*Spacetime and geometry: An introduction to general relativity*, volume 1.  
Addison Wesley, 1st edition, 2004.
- [2] S.W. Hawking and G.F.R. Ellis.  
*The Large Scale Structure of Space-time*, volume 1.  
Cambridge University Press, 20th edition, 1973.
- [3] L. Balart and E. C. Vagenas.  
Regular black hole metrics and the weak energy condition.  
*Physics Letters B*, 730:14–17, March 2014.
- [4] J. M. Bardeen.  
Non-singular general-relativistic gravitational collapse.  
In *Proceedings of International Conference GR5*, page 174, Tbilisi, 1968.



# Referencias II

- [5] Ayón-Beato, E. and García, A.  
The Bardeen model as a nonlinear magnetic monopole.  
*Physics Letters B*, 493:149–152, November 2000.
- [6] A. Borde.  
Open and closed universes, initial singularities, and inflation.  
*Phys. Rev. D*, 50:3692–3702, September 1994.
- [7] T. De Lorenzo, C. Pacilio, C. Rovelli, and S. Speziale.  
On the effective metric of a Planck star.  
*General Relativity and Gravitation*, 47:41, April 2015.
- [8] H. M. Haggard and C. Rovelli.  
Quantum-gravity effects outside the horizon spark black to white hole tunneling.  
*Phys. Rev. D*, 92(10):104020, November 2015.

¡Gracias por su atención!